

ИЗВЕСТИЯ  
ТОМСКОГО ОРДЕНА ТРУДОВОГО КРАСНОГО ЗНАМЕНИ  
ПОЛИТЕХНИЧЕСКОГО ИНСТИТУТА им. С. М. КИРОВА

Том 108

ИССЛЕДОВАНИЕ БУРИЛЬНЫХ МАШИН

1959

К ВОПРОСУ О ВОЗМОЖНОСТИ ПРИМЕНЕНИЯ  
ДИНАМИЧЕСКОГО ПОГЛОТИТЕЛЯ КОЛЕБАНИЙ  
К МАШИНАМ УДАРНОГО ДЕЙСТВИЯ

П. М. Алабужев, В. И. Копытов

Задача о колебаниях корпуса молотка (отбойного, бурильного и др. типов) с присоединенным динамическим поглотителем при некоторых допущениях сводится к задаче о колебаниях си-

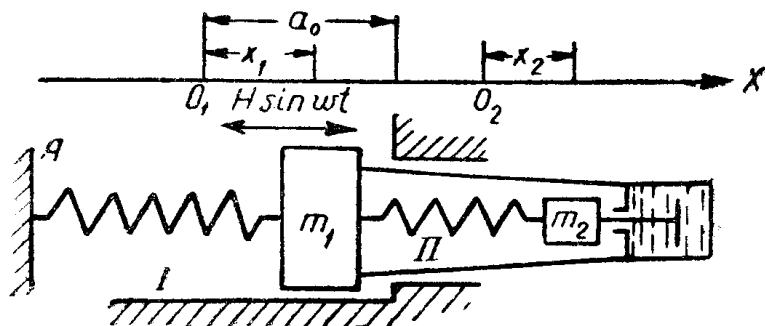


Рис. 1. Принципиальная схема механической системы с динамическим поглотителем колебаний.

стемы «упругая связь — масса — ограничитель» с двумя степенями свободы.

В работе [1] исследованы колебания подобной механической системы без учета сил сопротивления. В настоящей статье приводится решение указанной выше задачи с учетом сил сопротивления движению присоединенной массы. При этом мы ограничились рассмотрением случая, когда силы сопротивления пропорциональны первой степени скорости [2, 3, 5].

Рассмотрим механическую колебательную систему, состоящую из двух масс  $m_1$  и  $m_2$ , соединенную между собой пружиной  $\Pi$  (упругой связи) (рис. 1). Масса  $m_1$  с помощью пружины при-

креплена к неподвижной точке  $A$ . К массе  $m_1$ , кроме того, прикреплен цилиндр с некоторой вязкой жидкостью. В цилиндре с жидкостью перемещается поршень, соединенный с массой  $m_2$ . Силы сопротивления жидкости, развивающиеся во время движения поршня, а следовательно, и массы  $m_2$ , будем считать пропорциональными первой степени скорости движения поршня относительно цилиндра.

Исследуем вынужденные колебания масс  $m_1$  и  $m_2$ , если масса  $m_1$  имеет неподвижный жесткий ограничитель колебаний. Возмущающая сила, действующая на массу  $m_1$ , изменяется по закону  $H \sin \omega t$ .

Решение задачи будем искать при следующих допущениях: удар массы  $m_1$  об ограничитель неупругий, силы упругости в пружинах I и II изменяются по линейному закону.

Дифференциальные уравнения движения системы запишутся в виде:

$$\left. \begin{aligned} m_1 \ddot{x}_1 - \alpha (\dot{x}_2 - \dot{x}_1) + F(x_1) - c_2 (x_2 - x_1) - H \sin \omega t &= 0; \\ m_2 \ddot{x}_2 + \alpha (\dot{x}_2 - \dot{x}_1) + c_2 (x_2 - x_1) &= 0, \end{aligned} \right\} \quad (1)$$

где  $x_1$  — перемещение массы  $m_1$  относительно положения нерастянутой I пружины, точка  $O_1$ ;

$x_2$  — перемещение массы  $m_2$  относительно положения нерастянутой II пружины, точка  $O_2$ ;

$F(x_1)$  — сила упругости I пружины;

$\alpha (x_2 - x_1)$  — сила сопротивления, развивающаяся при движении массы  $m_2$ ;

$\omega$  — коэффициент пропорциональности (сопротивления);

$c_2$  — коэффициент жесткости II пружины.

Вынужденные колебания в первом приближении метода акад. Б. Г. Галеркина [1] будем искать в виде синусоидальных функций, имеющих ту же частоту, что и возмущающая сила, но сдвинутых относительно силы по фазе:

$$\left. \begin{aligned} x_1 &= A + a_1 \sin(\omega t - \gamma_1); \\ x_2 &= B + a_2 \sin(\omega t - \gamma_2). \end{aligned} \right\} \quad (2)$$

Здесь  $A$  и  $B$  есть некоторые величины, не зависящие от времени  $t$ .

Подставим значения  $x_1$ ,  $x_2$  и их производных в уравнения (1). Умножим полученные выражения на первые вариации  $\delta x_1$  и  $\delta x_2$  и проинтегрируем сумму этих выражений по  $t$  от 0 до  $\frac{2\pi}{\omega}$ . В силу независимости вариаций  $\delta A$ ,  $\delta B$ ,  $\delta a_1$ ;  $\delta a_2$ ;  $\delta \gamma_1$  и  $\delta \gamma_2$  получим

систему шести уравнений для определения шести величин  $A$ ;  $B$ ;  $a_1$ ;  $a_2$ ;  $\gamma_1$ ;  $\gamma_2$ :

$$\left. \begin{aligned} c_2(B - A) &= \frac{\omega}{2\pi} \int_0^{\frac{2\pi}{\omega}} F[A + a_1 \sin(\omega t - \gamma_1)] dt; \\ m_1 \omega^2 a_1 + \alpha \omega a_2 \sin(\gamma_2 - \gamma_1) + c_2 a_2 \cos(\gamma_2 - \gamma_1) - c_1 a_1 + H \cos \gamma_1 &= \\ &= \frac{\omega}{\pi} \int_0^{\frac{2\pi}{\omega}} F[A + a_1 \sin(\omega t - \gamma_1)] \sin(\omega t - \gamma_1) dt; \\ -\alpha \omega a_1 + \alpha \omega a_2 \cos(\gamma_2 - \gamma_1) - c_2 a_2 \sin(\gamma_2 - \gamma_1) + H \sin \gamma_1 &= \\ &= \frac{\omega}{\pi} \int_0^{\frac{2\pi}{\omega}} F[A + a_1 \sin(\omega t - \gamma_1)] \cos(\omega t - \gamma_1) dt; \\ c_2(B - A) &= 0; \\ -m_2 \omega^2 a_2 + \alpha \omega a_1 \sin(\gamma_2 - \gamma_1) + c_2 a_2 - c_1 a_1 \cos(\gamma_2 - \gamma_1) &= 0; \\ \alpha \omega a_2 - \alpha \omega a_1 \cos(\gamma_2 - \gamma_1) - c_2 a_1 \sin(\gamma_2 - \gamma_1) &= 0; \end{aligned} \right\} \quad (3)$$

Для вычисления интегралов, стоящих в первых трех уравнениях системы (3), необходимо задать конкретное выражение силы упругости

$$F(x_1) = F[A + a_1 \sin(\omega t - \gamma_1)].$$

Введя в рассмотрение новый параметр  $a_0$ , как расстояние от положения нерастянутой I пружины до ограничителя, силу упругости  $F(x_1)$  можно записать в виде

$$F(x_1) = \begin{cases} c_1 x_1 & \text{при } x_1 < a_0, \\ c_1 a_0 & \gg x_1 = a_0. \end{cases} \quad (4)$$

где  $c_1$  — коэффициент жесткости I пружины.

Из условия соприкосновения массы  $m_1$  с ограничителем имеем

$$A + a_1 = a_0, \quad (5)$$

т. е. соприкосновение происходит в момент времени  $t_1$ , определяемого из уравнения

$$\omega t_1 - \gamma_1 = \frac{\pi}{2},$$

откуда

$$t_1 = \frac{\pi}{2\omega} + \frac{\gamma_1}{\omega}. \quad (6)$$

Следовательно, промежуток интегрирования по  $t$  разбивается на четыре части аналогично задаче о колебаниях двухмассовой системы без сил сопротивления [4]

$$\left| \begin{array}{l}
 c_1 [A + a_1 \sin(\omega t - \gamma_1)] \\
 \text{при } 0 \leq t \leq \frac{\pi}{2\omega} + \frac{\gamma_1}{\omega} - \sigma; \\
 \\ 
 c_1 a_0 = \lim_{\sigma \rightarrow 0} \frac{\omega}{\pi} \int_{\frac{\pi}{2\omega} + \frac{\gamma_1}{\omega} - \sigma}^{\frac{\pi}{2\omega} + \frac{\gamma_1}{\omega}} \varphi \left( t - \frac{\pi}{2\omega} - \frac{\gamma_1}{\omega} + \sigma \right) dt = \\
 \\ 
 = \lim_{\sigma \rightarrow 0} \frac{\omega}{\pi} \int_0^{\sigma} \varphi(\tau) d\tau \\
 \\ 
 \text{при } \frac{\pi}{2\omega} + \frac{\gamma_1}{\omega} - \sigma \leq t \leq \frac{\pi}{2\omega} + \frac{\gamma_1}{\omega}, \\
 \\ 
 c_1 a_0 = \lim_{\sigma \rightarrow 0} \frac{\omega}{\pi} \int_{\frac{\pi}{2\omega} + \frac{\gamma_1}{\omega}}^{\frac{\pi}{2\omega} + \frac{\gamma_1}{\omega} + \sigma} \varphi \left( \frac{\pi}{2\omega} + \frac{\gamma_1}{\omega} + \sigma - t \right) dt \\
 \\ 
 = \lim_{\sigma \rightarrow 0} \frac{\omega}{\pi} \int_0^{\sigma} \varphi(\tau) d\tau \\
 \\ 
 \text{при } \frac{\pi}{2\omega} + \frac{\gamma_1}{\omega} + \sigma \leq t \leq \frac{\pi}{2\omega} + \frac{\gamma_1}{\omega} + \frac{2\pi}{\omega}, \\
 \\ 
 c_1 [A + a_1 \sin(\omega t - \gamma_1)] \\
 \text{при } \frac{\pi}{2\omega} + \frac{\gamma_1}{\omega} + \sigma \leq t \leq \frac{2\pi}{\omega}.
 \end{array} \right. \quad (7)$$

Подставляя данное выражение силы упругости в интегралы выражений (3), после вычислений, аналогичных изложенным в работах [1; 4], получим

$$\left| \begin{array}{l}
 c_2(B - A) = c_1 A + c_1 a_0; \\
 m_1 \omega^2 a_1 - c_2 a_1 + \alpha \omega a_2 \sin(\gamma_2 - \gamma_1) + c_2 a_2 \cos(\gamma_2 - \gamma_1) + \\
 + H \cos \gamma_1 = c_1 a_1 + 2c_1 a_0; \\
 \alpha \omega a_1 - \alpha \omega a_2 \cos(\gamma_2 - \gamma_1) + c_2 a_2 \sin(\gamma_2 - \gamma_1) - \\
 - H \sin \gamma_1 = 0; \\
 c_2(B - A) = 0; \\
 -m_2 \omega^2 a_2 + \alpha \omega a_1 \sin(\gamma_2 - \gamma_1) + c_2 a_2 - \\
 - c_2 a_1 \cos(\gamma_2 - \gamma_1) = 0; \\
 \alpha \omega a_2 - \alpha \omega a_1 \cos(\gamma_2 - \gamma_1) - c_2 a_1 \sin(\gamma_2 - \gamma_1) = 0.
 \end{array} \right. \quad (8)$$

Из первого и четвертого уравнений данной системы и условия (5) имеем соотношение

$$c_1 a_0 = c_1 (a_1 - a_0). \quad (9)$$

Подставим выражение (9) во второе уравнение системы (8) и запишем данные уравнения в безразмерных величинах, что, очевидно, уменьшит число параметров механической системы и даст возможность представить систему уравнений в виде, более удобном для решения

$$\left. \begin{aligned} & \left( 3 - p_1^2 + \frac{c_2}{c_1} \right) \frac{a_1}{h} - [2\beta p_2 \sin(\gamma_2 - \gamma_1) + \cos(\gamma_2 - \gamma_1)] \frac{c_2}{c_1} \times \\ & \quad \times \frac{a_2}{h} - \cos \gamma_1 = 2 \frac{a_0}{h}; \\ & 2\beta p_2 \frac{c_2}{c_1} \cdot \frac{a_1}{h} - [2\beta p_2 \cos(\gamma_2 - \gamma_1) - \sin(\gamma_2 - \gamma_1)] \frac{c_2}{c_1} \cdot \frac{a_2}{h} - \\ & \quad - \sin \gamma_1 = 0; \\ & 2\beta p_2 \frac{a_1}{h} \sin(\gamma_2 - \gamma_1) - \frac{a_1}{h} \cos(\gamma_2 - \gamma_1) = (\beta^2 - 1) \frac{a_2}{h}; \\ & \frac{a_1}{h} \sin(\gamma_2 - \gamma_1) + 2\beta p_2 \frac{a_1}{h} \cos(\gamma_2 - \gamma_1) = 2\beta p_2 \frac{a_2}{h}. \end{aligned} \right\} \quad (10)$$

где введены следующие обозначения:

$$\begin{aligned} p_1 &= \frac{\omega}{\omega_{01}}; \quad p_2 = \frac{\omega}{\omega_{02}}; \quad \omega_{01} = \sqrt{\frac{c_1}{m_1}}; \quad \omega_{02} = \sqrt{\frac{c_2}{m_2}}; \\ \beta &= \frac{z}{m_2 \omega_{02}}; \quad h = \frac{H}{c_1}. \end{aligned} \quad (11)$$

Из последних двух уравнений системы 10 получаем соотношение

$$(1 + 4\beta^2 p_2^2) \frac{a_1}{h} = \sqrt{4\beta^2 p_2^6 + [1 - 4\beta^2] p_2^2} \left( \frac{a_2}{h} \right). \quad (12)$$

Первые два уравнения системы (10) после некоторых преобразований приводятся к квадратному уравнению относительно величины  $\frac{a_1}{h}$  из которого находим.

$$\frac{a_1}{h} = \frac{2\chi \frac{a_0}{h} \pm \sqrt{\chi^2 + \left[ 1 - 4 \left( \frac{a_0}{h} \right)^2 \right] \varepsilon^2}}{\chi^2 + \varepsilon^2}, \quad (13)$$

где величины  $\chi$  и  $\varepsilon$  имеют выражения

$$\begin{aligned} \chi &= \left( 3 - p_1^2 + \frac{c_2}{c_1} \right) - \frac{c_2}{c_1} \cdot \frac{(1 + 4\beta^2 p_2^2) [2\beta^2 (2 + p_2^2) p_2^2 + (1 - p_2^2)]}{4\beta^2 p_2^6 + [1 - (1 - 4\beta^2) p_2^2]^2}; \quad (14) \\ \varepsilon &= 2\beta p_1^2 \frac{c_2}{c_1} \left\{ 1 - \frac{(1 + 4\beta^2 p_2^2) [1 - 2(1 - 2\beta^2) p_2^2]}{4\beta^2 p_2^6 + [1 - (1 - 4\beta^2) p_2^2]^2} \right\}. \end{aligned}$$

Из выражения (12) имеем

$$\frac{a_2}{h} = \frac{1 + 4\beta^2 p_2^2}{\sqrt{4\beta^2 p_2^6 + [1 - (1 - 4\beta^2) p_2^2]^2}} \cdot \frac{a_1}{h}, \quad (12a)$$

где  $\frac{a_1}{h}$  определяется соотношением (13). Знак минус перед радикалом следует отбросить как не удовлетворяющий рассматриваемой задаче.

Таким образом, величины амплитуд  $\frac{a_1}{h}$  и  $\frac{a_2}{h}$  вынужденных колебаний масс  $m_1$  и  $m_2$  в зависимости от частоты вынуждающей силы и параметров системы  $(\frac{a_1}{h}; \frac{c_2}{c_1}; \beta)$ , выражаются уравнениями (13) и (12, a).

Резонансные кривые для масс  $m_1$  и  $m_2$  получаются из системы уравнений (10), в которой необходимо положить равным нулю член, характеризующий действие внешней силы. Обозначая амплитуды колебаний масс  $m_1$  и  $m_2$  теми же буквами, но заключенным в круглые скобки, получим

$$\left(\frac{a}{h}\right) = \frac{2 \frac{a_0}{h}}{\chi}; \quad (15)$$

$$\left(\frac{a_2}{h}\right) = \frac{1 + 4\beta^2 p_2^2}{\sqrt{4\beta^2 p_2^6 + [1 - (1 - 4\beta^2) p_2^2]^2}} \cdot \left(\frac{a_1}{h}\right). \quad (16)$$

Если в процессе колебаний масса  $m_1$  не достигает ограничителя, то имеем обычную линейную механическую систему с двумя степенями свободы с учетом сил сопротивления движению массы  $m_2$ . В этом случае сила упругости

$$F(x) = c_1 x_1.$$

Поэтому система уравнений (3) в безразмерных величинах запишется в виде:

$$\begin{aligned} \left(1 - p_1^2 + \frac{c_2}{c_1}\right) \frac{a_1}{h} - [2\beta p_2 \sin(\gamma_2 - \gamma_1) + \cos(\gamma_2 - \gamma_1)] \frac{c_2}{c_1} \times \\ \times \frac{a_2}{h} = \cos \gamma_1; \\ 2\beta p_2 \frac{c_2}{c_1} \cdot \frac{a_1}{h} - [2\beta p_2 \cos(\gamma_2 - \gamma_1) - \sin(\gamma_2 - \gamma_1)] \frac{c_2}{c_1} \times \\ \times \frac{a_2}{h} = \sin \gamma_1; \\ 2\beta p_2 \frac{a_1}{h} \sin(\gamma_2 - \gamma_1) - \frac{a_1}{h} \cos(\gamma_2 - \gamma_1) = (p_2^2 - 1) \frac{a_2}{h}; \\ \frac{a_1}{h} \sin(\gamma_2 - \gamma_1) + 2\beta p_2 \frac{a_1}{h} \cos(\gamma_2 - \gamma_1) = 2\beta p_2 \frac{a_2}{h}. \end{aligned} \quad (17)$$

Произведя вычисления, аналогичные вышеизложенным, получим выражения  $\frac{a_1}{h}$  и  $\frac{a_2}{h}$  в виде:

$$\frac{a_1}{h} = \frac{1}{\sqrt{\chi^2 + \varepsilon^2}}; \quad (18)$$

$$\frac{a_2}{h} = \frac{1 + 4\beta^2 p_2^2}{\sqrt{4\beta^2 p_2^6 + [1 - (1 - 4\beta^2) p_2^2]^2}} \cdot \frac{a_1}{h}, \quad (19)$$

где

$$\begin{aligned} \chi &= \left(1 - p_1^2 + \frac{c_2}{c_1}\right) - \frac{c_2}{c_1} \cdot \frac{(1 + 4\beta^2 p_2^2) [2\beta^2 (2 + p_2^2) p_2^2 + (1 - p_2^2)]}{4\beta^2 p_2^6 + [1 - (1 - 4\beta^2) p_2^2]^2}; \\ \varepsilon &= 2\beta p_2 \frac{c_2}{c_1} \left\{ 1 - \frac{(1 + 4\beta^2 p_2^2) [1 - 2(1 - 2\beta^2) p_2^2]}{4\beta^2 p_2^6 + [1 - (1 - 4\beta^2) p_2^2]^2} \right\}. \end{aligned} \quad (20)$$

Таким образом, величины амплитуд  $\frac{a_1}{h}$  и  $\frac{a_2}{h}$  вынужденных колебаний масс  $m_1$  и  $m_2$  в зависимости от частоты возмущающей силы и параметров  $\left(\frac{c_2}{c_1}; \beta\right)$  для линейной системы определяются уравнениями (18) и (19).

Определение областей частот, при которых происходят устойчивые колебания массы  $m_1$  с ударом об ограничитель, в общем виде весьма громоздко, ввиду чего этот вопрос в работе не рассматривается. Однако для оценки границ области устойчивости колебаний с ударом об ограничитель массы  $m_1$  можно в первом приближении пользоваться результатами, полученными при исследовании системы с двумя степенями свободы без учета сил сопротивления [4].

Задаваясь конкретными значениями параметров системы  $\left(\frac{a_0}{h}; \frac{c_2}{c_1}; \frac{m_2}{m_1}; \beta\right)$ , можем построить графики, наглядно иллюстрирующие процесс развития колебаний системы при изменении частоты возмущающей силы.

Пусть  $p_1 = p_2 = p$ , тогда  $\frac{c_2}{c_1} = \frac{m_2}{m_1} = \mu$ . Кроме того, зададим численные значения параметров системы:

$$\frac{a_0}{h} = 2; \quad \mu = 0,2; \quad \beta = 0,1. \quad (21)$$

На рис. 2 представлены графически зависимости амплитуд колебаний масс  $m_1$  и  $m_2$  при изменении частоты  $p$  для выбранных значений параметров системы (21). Проследим, как происходит развитие колебаний системы. При увеличении частоты  $p$  от нуля система начинает колебаться. Если при этом масса  $m_1$  не дости-

гает ограничителя, то имеем линейный случай. Амплитудные кривые строим по формулам (18). Когда масса  $m_1$  ударяется об ограничитель, то кривые строим по формулам (13). Жирными линиями выделены резонансные кривые (15), которые берут на-

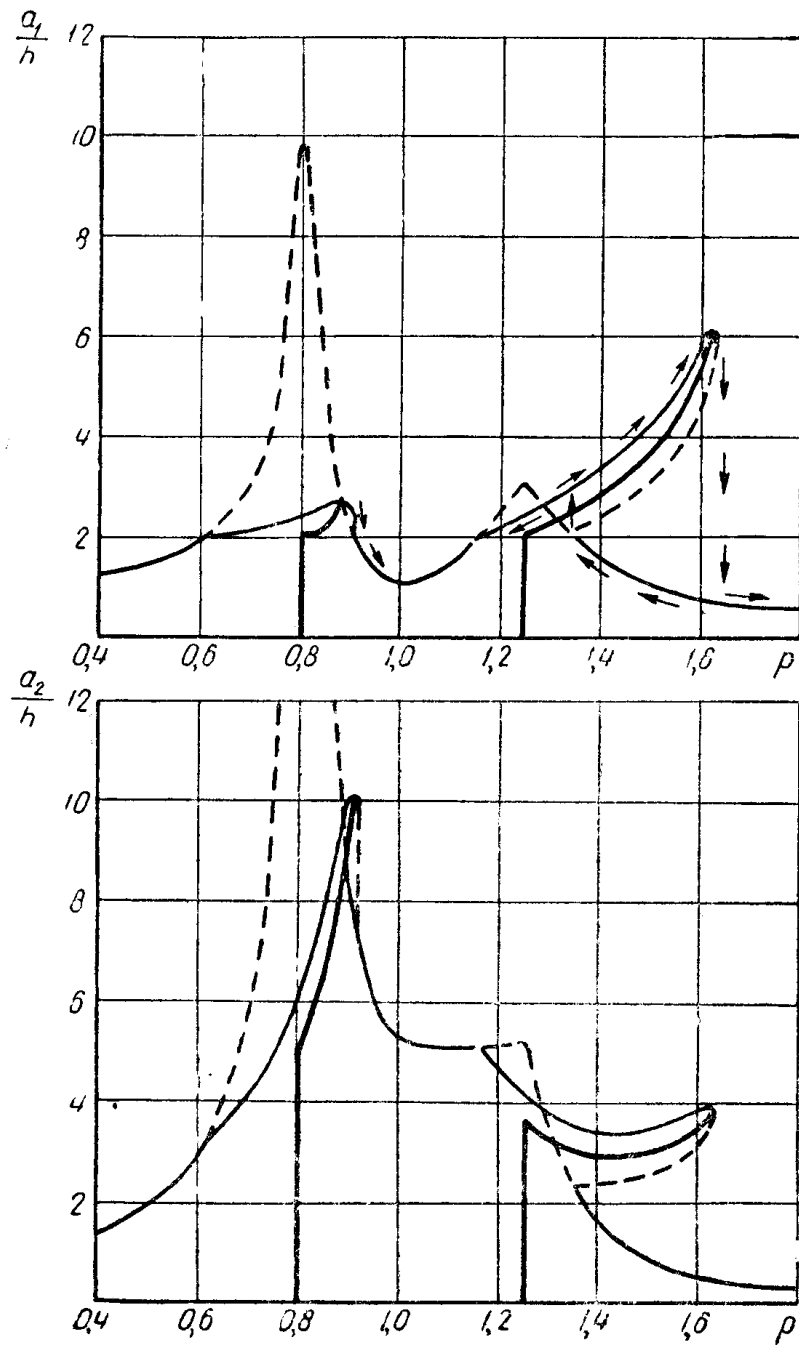


Рис. 2. Амплитудные кривые колебаний массы  $m_1$  и массы  $m_2$  динамического поглотителя.

чало с прямых линий, соответствующих резонансным прямым линиям линейной системы с учетом сил сопротивления. При дальнейшем увеличении частоты  $p$  система приходит в состояние резонанса (первый резонанс) и при некотором значении  $p$  происходит «срыв» колебаний массы  $m_1$  с ударом об ограничи-

читель, т. е. масса  $m_1$  колебается, не достигая ограничителя. Имеем обычный линейный случай. Амплитудные кривые строим по формулам (18). Увеличивая дальше частоту  $p$ , получим, что масса  $m_1$  снова начнет ударяться об ограничитель. Дальнейшее построение кривых ведем по формулам (13). При достижении второго резонанса при некотором значении  $p$  происходит второй из «срывов» колебаний массы  $m_1$  с ударом об ограничитель. В результате имеем опять линейный случай. Построение амплитудных кривых ведем по формулам (18). При дальнейшем увеличении частоты  $p$  амплитуды колебаний масс  $m_1$  и  $m_2$  стремятся к нулю.

Наоборот, уменьшая частоту  $p$ , при некотором ее значении, когда  $\frac{a_1}{h} = \frac{a_0}{h}$ , произойдет резкий скачок амплитуд колебаний масс  $m_1$  и  $m_2$ . Причем частота  $p$ , соответствующая скачку амплитуды колебаний масс  $m_1$  и  $m_2$ , будет меньше частоты, при которой произошел «срыв» колебаний, т. е. имеем характерное для нелинейной системы явление «затягивания» амплитуды колебаний. Уменьшая дальше величину  $p$ , получим, что масса  $m_1$  опять попадает в такое состояние, при котором не будет касаться ограничителя. При некотором значении частоты  $p$  масса  $m_1$ , снова начнет ударяться об ограничитель и произойдет скачок величины амплитуд колебаний масс  $m_1$  и  $m_2$ .

Из графиков видно, что амплитудные кривые не уходят в бесконечность, а имеют определенный максимум.

## ВЫВОДЫ

Из приведенных расчетов и графиков видно, что введение в систему «упругая связь — масса — ограничитель» динамического поглотителя колебаний с учетом сил сопротивления вполне возможно. Присоединением такого динамического поглотителя можно снизить амплитуду колебаний массы  $m_1$  системы с ограничителем, когда последняя находится в состоянии резонанса. При этом частота внешней силы может изменяться в некоторых пределах, чего не наблюдается в динамическом поглотителе без сил сопротивления [4].

Наличие сил сопротивления приводит к рассеиванию энергии колеблющихся масс системы, вследствие чего амплитуды колебаний последних в состоянии резонанса имеют конечные значения. При этом работа (энергия рассеивания), совершаемая силой сопротивления, равна этой силе, умноженной на перемещение, на котором она действует [2].

Вопрос о выборе «наилучшего коэффициента затухания»  $\beta$  [2] в зависимости от параметров системы  $\left( \frac{c_2}{c_1}; \frac{m_2}{m_1}; \frac{a_0}{h} \right)$ , при котором амплитуды колебаний массы  $m_1$  будут иметь минимальные значения, в данной работе не рассматривается. Указанная задача является предметом дальнейших исследований.

## ЛИТЕРАТУРА

1. П. М. А ла бу ж е в, В. И. Ко пы т о в. Исследование колебаний груза, ударяющегося об ограничитель. Известия ТПИ, том 106, Металлургиздат, 1958.
  2. Д е н Г а р т о г. Теория колебаний. ОГИЗ, 1942.
  3. Т. Ка р м а н, М. Б и о. Математические методы в инженерном деле. Гостехиздат, 1948.
  4. В. И. Ко пы т о в. Вынужденные колебания системы с двумя степенями свободы при ударе об ограничитель одной из масс. Известия вузов, Горный журнал, № 8, 1958.
  5. С. П. Т и м о ш е н к о. Теория колебаний в инженерном деле. ГИТИ, 1934.
-